

第五章 连续系统的s域分析

频域分析基本信号：虚指数信号 $e^{j\omega t}$

任意信号分解为众多不同频率的虚指数分量之和，使响应的求解得到简化，物理意义清楚。但也有不足：

- (1) 有些重要信号不存在傅里叶变换，如 $e^{2t}\varepsilon(t)$;
- (2) 对于给定初始状态的系统难于利用频域分析。

本章频域中的傅里叶变换推广到复频域来解决这些问题。

本章引入复频率 $s = \sigma + j\omega$, 以复指数函数 e^{st} 为基本信号, 任意信号可分解为不同复频率的复指数分量之和。这里用于系统分析的独立变量是复频率 s , 故称为 s 域分析。所采用的数学工具为拉普拉斯变换。

第五章 连续系统的 s 域分析

5.1 拉普拉斯变换

5.2 拉普拉斯变换的性质

5.3 拉普拉斯逆变换

5.4 复频域分析

§ 5.1 拉普拉斯变换

从傅里叶变换到拉普拉斯变换

收敛域

(单边)拉普拉斯变换

常见函数的拉普拉斯变换

单边拉氏变换与傅里叶变换的关系

一、从傅里叶变换到拉普拉斯变换

频域分析遇到的问题：

部分函数不满足绝对可积条件。

解决办法：

用一衰减因子 $e^{-\sigma t}$ (σ 为实常数) 乘信号 $f(t)$ ，使得：

当 $t \rightarrow \infty$ 时， $f(t)e^{-\sigma t} \rightarrow 0$ ，使 $f(t)e^{-\sigma t}$ 的傅里叶变换存在。

$$\begin{aligned} F_b(\sigma + j\omega) &= \mathcal{F}[f(t)e^{-\sigma t}] = \int_{-\infty}^{\infty} f(t)e^{-\sigma t} e^{-j\omega t} dt \\ &= \int_{-\infty}^{\infty} f(t)e^{-(\sigma + j\omega)t} dt \end{aligned}$$

$$F_b(\sigma + j\omega) = \int_{-\infty}^{\infty} f(t) e^{-\sigma t} e^{-j\omega t} dt = \int_{-\infty}^{\infty} f(t) e^{-(\sigma + j\omega)t} dt$$

相应的傅里叶逆变换为:

$$f(t) e^{-\sigma t} = \frac{1}{2\pi} \int_{-\infty}^{\infty} F_b(\sigma + j\omega) e^{j\omega t} d\omega$$

$$\therefore f(t) = \frac{1}{2\pi} \int_{-\infty}^{\infty} F_b(\sigma + j\omega) e^{(\sigma + j\omega)t} d\omega$$

令 $s = \sigma + j\omega$, $d\omega = ds/j$, 有

$$F_b(s) = \int_{-\infty}^{\infty} f(t) e^{-st} dt$$

$$f(t) = \frac{1}{2\pi j} \int_{\sigma - j\infty}^{\sigma + j\infty} F_b(s) e^{st} ds$$

双边拉普拉斯 变换对

$$F_b(s) = \int_{-\infty}^{\infty} f(t) e^{-st} dt$$
$$f(t) = \frac{1}{2\pi j} \int_{\sigma-j\infty}^{\sigma+j\infty} F_b(s) e^{st} ds$$

$F_b(s)$ 称为 $f(t)$ 的双边拉氏变换（或象函数）

$f(t)$ 称为 $F_b(s)$ 的双边拉氏逆变换（或原函数）

二、收敛域

$$F_b(s) = \int_{-\infty}^{\infty} f(t)e^{-st} dt$$

$$f(t) = \frac{1}{2\pi j} \int_{\sigma-j\infty}^{\sigma+j\infty} F_b(s)e^{st} ds$$

只有选择适当的 σ 值才能使积分收敛，信号 $f(t)$ 的双边拉普拉斯变换存在。

收敛域:

使 $f(t)$ 拉氏变换存在的 σ 的取值范围称为 $F_b(s)$ 的收敛域。

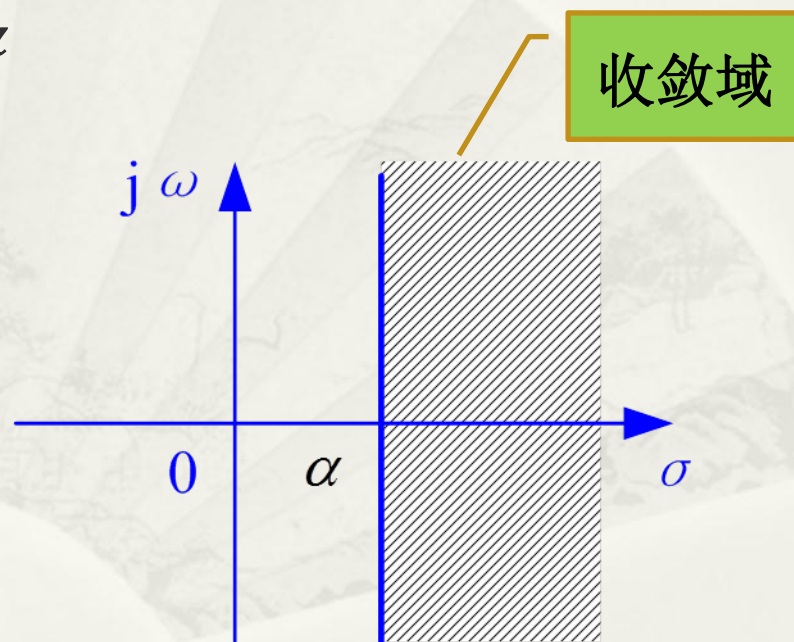
例1: 因果信号 $f_1(t) = e^{\alpha t} \varepsilon(t)$, 求拉氏变换。

解:
$$F_{1b}(s) = \int_{-\infty}^{\infty} f_1(t) e^{-st} dt = \int_0^{\infty} e^{\alpha t} e^{-st} dt$$
$$= \frac{e^{-(s-\alpha)t}}{-(s-\alpha)} \Big|_0^{\infty} = \frac{1}{s-\alpha} \left[1 - \lim_{t \rightarrow \infty} e^{-(\sigma-\alpha)t} e^{-j\omega t} \right]$$
$$= \begin{cases} \frac{1}{s-\alpha}, & \text{Re}[s] = \sigma > \alpha \\ \text{不定}, & \sigma = \alpha \\ \text{无界}, & \sigma < \alpha \end{cases}$$

例1：因果信号 $f_1(t) = e^{\alpha t} \varepsilon(t)$ ，求拉氏变换。

$$F_{1b}(s) = \begin{cases} \frac{1}{s - \alpha}, & \text{Re}[s] = \sigma > \alpha \\ \text{不定,} & \sigma = \alpha \\ \text{无界,} & \sigma < \alpha \end{cases}$$

可见，对于因果信号，仅当 $\text{Re}[s] = \sigma > \alpha$ 时，其拉氏变换存在，收敛域如右图所示。



$$e^{\alpha t} \varepsilon(t) \leftrightarrow \frac{1}{s - \alpha} \quad \sigma > \alpha$$

例2: 反因果信号 $f_2(t) = e^{\beta t} \varepsilon(-t)$, 求拉氏变换。

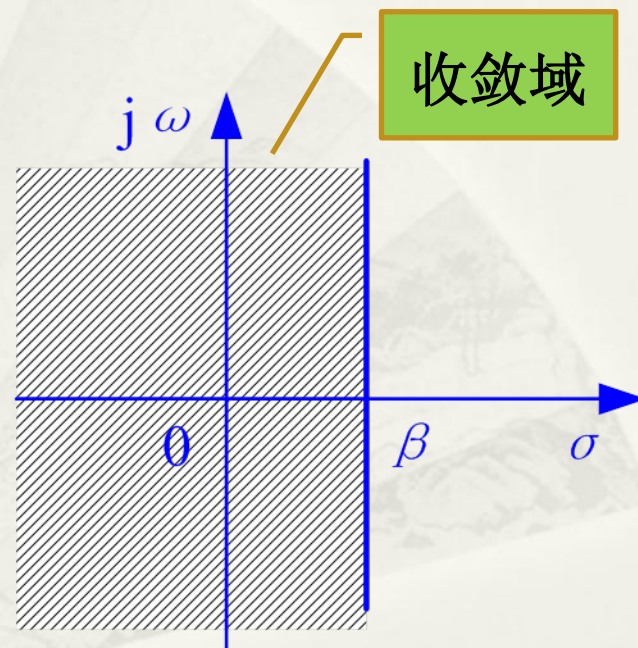
解:
$$F_{2b}(s) = \int_{-\infty}^{\infty} f_2(t) e^{-st} dt = \int_{-\infty}^0 e^{\beta t} e^{-st} dt$$
$$= \frac{e^{-(s-\beta)t}}{-(s-\beta)} \Big|_{-\infty}^0 = \frac{1}{-(s-\beta)} \left[1 - \lim_{t \rightarrow -\infty} e^{-(s-\beta)t} e^{-j\omega t} \right]$$
$$= \begin{cases} \frac{1}{-(s-\beta)}, & \text{Re}[s] = \sigma < \beta \\ \text{不定}, & \sigma = \beta \\ \text{无界}, & \sigma > \beta \end{cases}$$

例2：反因果信号 $f_2(t) = e^{\beta t} \varepsilon(-t)$ ，求拉氏变换。

$$F_{2b}(s) = \begin{cases} \frac{1}{-(s - \beta)}, & \text{Re}[s] = \sigma < \beta \\ \text{不定,} & \sigma = \beta \\ \text{无界,} & \sigma > \beta \end{cases}$$

可见，对于反因果信号，仅当 $\text{Re}[s] = \sigma < \beta$ 时，其拉氏变换存在，收敛域如图所示。

$$e^{\beta t} \varepsilon(-t) \longleftrightarrow \frac{1}{-(s - \beta)} \quad \sigma < \beta$$

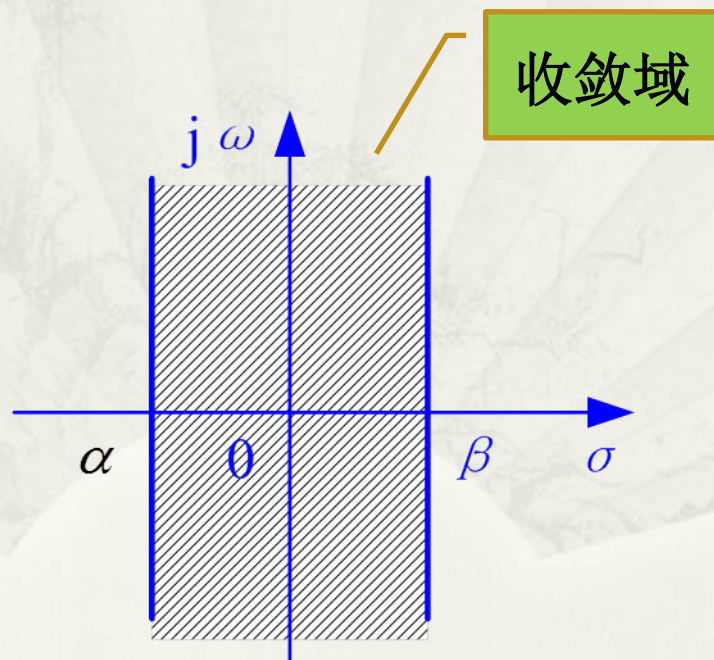


例3: 双边信号 $f_3(t) = f_1(t) + f_2(t) = \begin{cases} e^{\beta t}, & t < 0 \\ e^{\alpha t}, & t > 0 \end{cases}$,

求拉氏变换。

解: 其双边拉普拉斯变换 $F_b(s) = F_{b1}(s) + F_{b2}(s)$

仅当 $\beta > \alpha$ 时, 其收敛域为: $\alpha < \text{Re}[s] < \beta$
的一个带状区域, 如下图所示。



例4: 求下列信号的双边拉普拉斯变换。

$$f_1(t) = e^{-3t} \varepsilon(t) + e^{-2t} \varepsilon(t)$$

$$f_2(t) = -e^{-3t} \varepsilon(-t) - e^{-2t} \varepsilon(-t)$$

$$f_3(t) = e^{-3t} \varepsilon(t) - e^{-2t} \varepsilon(-t)$$

解: $f_1(t) \longleftrightarrow F_1(s) = \frac{1}{s+3} + \frac{1}{s+2} \quad \text{Re}[s] = \sigma > -2$

$$f_2(t) \longleftrightarrow F_2(s) = \frac{1}{s+3} + \frac{1}{s+2} \quad \text{Re}[s] = \sigma < -3$$

$$f_3(t) \longleftrightarrow F_3(s) = \frac{1}{s+3} + \frac{1}{s+2} \quad -3 < \sigma < -2$$

可见, 虽象函数相同, 但收敛域不同。

双边拉氏变换必须标出收敛域。

通常遇到的信号都有初始时刻，不妨设其初始时刻为坐标原点。这样， $t < 0$ 时， $f(t) = 0$ 。

从而拉氏变换式写为：

$$F(s) = \int_{0_-}^{\infty} f(t) e^{-st} dt$$

称为**单边拉氏变换**，简称拉氏变换。

其收敛域一定是 $\text{Re}[s] > \alpha$ ，可以省略。

本课程主要讨论单边拉氏变换。

三、单边拉氏变换

$$F(s) \stackrel{\text{def}}{=} \int_{0_-}^{\infty} f(t) e^{-st} dt$$

$$f(t) \stackrel{\text{def}}{=} \left[\frac{1}{2\pi j} \int_{\sigma-j\infty}^{\sigma+j\infty} F(s) e^{st} ds \right] \epsilon(t)$$

简记为: $F(s) = \mathcal{L}[f(t)]$

$$f(t) = \mathcal{L}^{-1}[F(s)]$$

或 $f(t) \longleftrightarrow F(s)$

四、常见函数的单边拉普拉斯变换

$$(1) \delta(t) \longleftrightarrow 1, \sigma > -\infty$$

$$(2) \varepsilon(t) \text{ 或 } 1 \longleftrightarrow 1/s, \sigma > 0$$

$$(3) \text{ 指数函数 } e^{-s_0 t} \longleftrightarrow \frac{1}{s + s_0} \quad \sigma > -\operatorname{Re}[s_0]$$

$$\cos \omega_0 t = (e^{j\omega_0 t} + e^{-j\omega_0 t})/2 \longleftrightarrow \frac{s}{s^2 + \omega_0^2}$$

$$\sin \omega_0 t = (e^{j\omega_0 t} - e^{-j\omega_0 t})/2j \longleftrightarrow \frac{\omega_0}{s^2 + \omega_0^2}$$

(4) “周期信号” $f_T(t)$

$$\begin{aligned} F_T(s) &= \int_0^{\infty} f_T(t) e^{-st} dt \\ &= \int_0^T f_T(t) e^{-st} dt + \int_T^{2T} f_T(t) e^{-st} dt + \dots \\ &= \sum_{n=0}^{\infty} \int_{nT}^{(n+1)T} f_T(t) e^{-st} dt \end{aligned}$$

令 $t = t' + nT$, 则原式为:

$$F_T(s) = \sum_{n=0}^{\infty} e^{-nsT} \int_0^T f_T(t') e^{-st'} dt' = \frac{1}{1 - e^{-sT}} \int_0^T f_T(t) e^{-st} dt$$

(4) “周期信号” $f_T(t)$

$$F_T(s) = \frac{1}{1 - e^{-sT}} \int_0^T f_T(t) e^{-st} dt$$

令 $f_0(t) = f_T(t)$ $0 < t < T$, 且 $f_0(t) \leftrightarrow F_0(s)$, 则:

$$F_T(s) = \frac{F_0(s)}{1 - e^{-sT}}$$

特例: $\delta_T(t) \leftrightarrow 1/(1 - e^{-sT})$

思考: $\frac{1}{1 + e^{-sT}} \leftrightarrow ?$

五、单边拉氏变换与傅里叶变换的关系

单边拉氏变换: $F(s) = \int_{0-}^{\infty} f(t)e^{-st}dt \quad \text{Re}[s] > \sigma_0$

傅里叶变换: $F(j\omega) = \int_{-\infty}^{\infty} f(t)e^{-j\omega t}dt$

假定 $f(t)$ 为因果信号:

根据收敛坐标 σ_0 的值可分为以下三种情况:

(1) $\sigma_0 < 0$, 即 $F(s)$ 的收敛域包含 $j\omega$ 轴, 则 $f(t)$ 的傅里叶变换存在, 并且 $F(j\omega) = F(s)|_{s=j\omega}$

例: $f(t) = e^{-2t}\varepsilon(t) \leftrightarrow F(s) = 1/(s+2), \sigma > -2;$

则 $F(j\omega) = 1/(j\omega + 2)$

(2) $\sigma_0 = 0$, 即 $F(s)$ 的收敛边界为 $j\omega$ 轴;

$$F(j\omega) = \lim_{\sigma \rightarrow 0} F(s)$$

例: $f(t) = \varepsilon(t) \leftrightarrow F(s) = 1/s$

$$\begin{aligned} F(j\omega) &= \lim_{\sigma \rightarrow 0} \frac{1}{\sigma + j\omega} = \lim_{\sigma \rightarrow 0} \frac{\sigma}{\sigma^2 + \omega^2} + \lim_{\sigma \rightarrow 0} \frac{-j\omega}{\sigma^2 + \omega^2} \\ &= \pi\delta(\omega) + 1/j\omega \end{aligned}$$

(3) $\sigma_0 > 0$, $F(j\omega)$ 不存在;

例: $f(t) = e^{2t}\varepsilon(t) \leftrightarrow F(s) = 1/(s-2)$, $\sigma > 2$;
其傅里叶变换不存在。

一个信号存在拉氏变换，就一定存在傅里叶变换（ ），一个信号存在傅里叶变换，就一定存在双边拉氏变换（ ）。

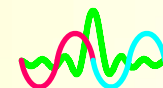
- ☐ A 对；错
- ☒ B 错；对
- ☐ C 错；错
- ☐ D 对；对

 提交

已知 $F(s) = \frac{1}{s+2} - \frac{1}{s+3}$, $\sigma > -2$, 试问其傅里叶变换是否存在?

- ☒ A 存在
- ☐ B 不存在
- ☐ C 无法确定

提交



以下为四个因果信号的拉普拉斯变换，其中不存在傅里叶变换的是（ ）。

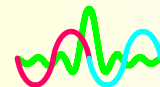
A $\frac{1}{s}$

B 1

C $\frac{1}{s+2}$

D $\frac{1}{s-2}$

提交



信号的傅立叶变换可以看成是拉普拉斯变换的特例，如果（ ）。

- ☐ A 拉普拉斯变换的收敛域不包含虚轴。
- ☐ B 拉普拉斯变换的收敛域包含单位圆。
- ☒ C 拉普拉斯变换的收敛域包含虚轴。
- ☐ D 拉普拉斯变换的收敛域不包含单位圆。